

<30/05/18>

IEE239

DFT2D, Análisis en frecuencia

1) DFT: demostraciones

A) Desplazamiento en frecuencia

$$g(x, y) = f(x, y) e^{j2\pi \left(\frac{u_0 x}{M} + \frac{v_0 y}{N} \right)}$$

$$g(u, v) = \sum_{x=0}^{M-1} \sum_{y=0}^{N-1} f(x, y) e^{j2\pi \left(\frac{u_0 x}{M} + \frac{v_0 y}{N} \right)} \cdot e^{-j2\pi \left(\frac{u x}{M} + \frac{v y}{N} \right)}$$

$$= \sum_{x=0}^{M-1} \sum_{y=0}^{N-1} f(x, y) e^{-j2\pi \left[\frac{(u-u_0)x}{M} + \frac{(v-v_0)y}{N} \right]}$$

desplazamiento

* Por definición:

$$g(u, v) = F(u-u_0, v-v_0)$$

b) Periodicidad ($k_1, k_2 \in \mathbb{Z}$):

$$F(u+k_1 M, v+k_2 N) = \sum_{x=0}^{M-1} \sum_{y=0}^{N-1} f(x, y) e^{-j2\pi \left[\frac{(u+k_1 M)x}{M} + \frac{(v+k_2 N)y}{N} \right]}$$

periodo M, N
x y

$$= F(u, v)$$

c) Propiedad de convolución:

$$g(x, y) = f(x, y) * w(x, y)$$

$$= \sum_{s=0}^{M-1} \sum_{t=0}^{N-1} f(s, t) \cdot w(x-s, y-t)$$

$$\circ g(x, y) = \sum_{x=0}^{M-1} \sum_{y=0}^{N-1} \left(\sum_{s=0}^{M-1} \sum_{t=0}^{N-1} f(s, t) w(x-s, y-t) \right) \cdot e^{-j2\pi \left(\frac{u x}{M} + \frac{v y}{N} \right)}$$

CAMBIO EN VARIABLE DE SUMA

$$= \sum_{s=0}^{M-1} \sum_{t=0}^{N-1} f(s,t) \cdot \sum_{x=0}^{M-1} \sum_{y=0}^{N-1} w(x-s, y-t) e^{-j 2\pi (\frac{ux}{M} + \frac{vy}{N})}$$

$$\hat{x} = x-s$$

$$\hat{y} = y-t$$

Condición de DFT \rightarrow N muestras consecutivas

$$\sum_{\hat{x}=-s}^{M-1-s} \sum_{\hat{y}=-t}^{N-1-t} w(\hat{x}, \hat{y}) e^{-j 2\pi (\frac{u(\hat{x}+s)}{M} + \frac{v(\hat{y}+t)}{N})}$$

$$\hat{x} = \langle M \rangle ; \hat{y} = \langle N \rangle$$

$$= \sum_{s=0}^{M-1} \sum_{t=0}^{N-1} f(s,t) \cdot e^{-j 2\pi (\frac{us}{M} + \frac{vt}{N})} \cdot w(u,v)$$

$$= F(u,v) \cdot w(u,v)$$

d) Desplazamiento hacia el centro.

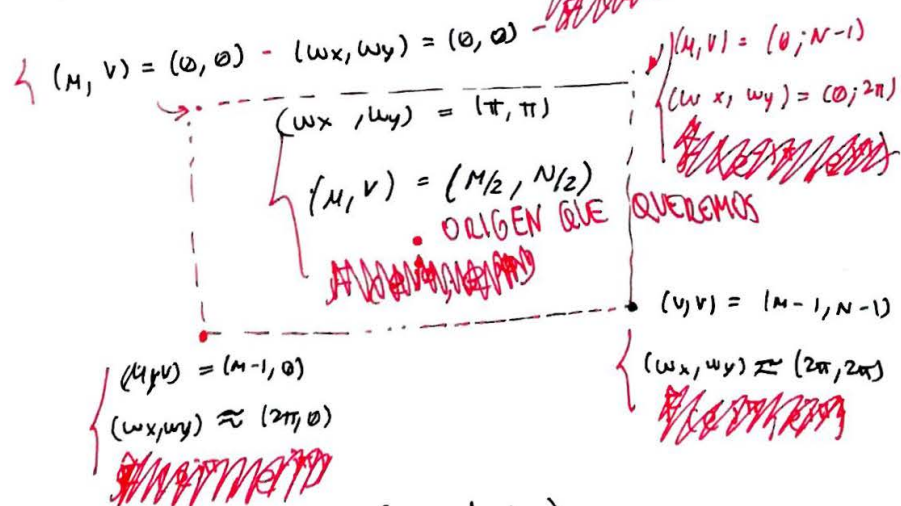
$$f(x,y) \cdot (-1)^{x+y} \xrightarrow{F} F(u-M/2; v-N/2)$$

$$e^{j 2\pi (M/2 + N/2)}$$

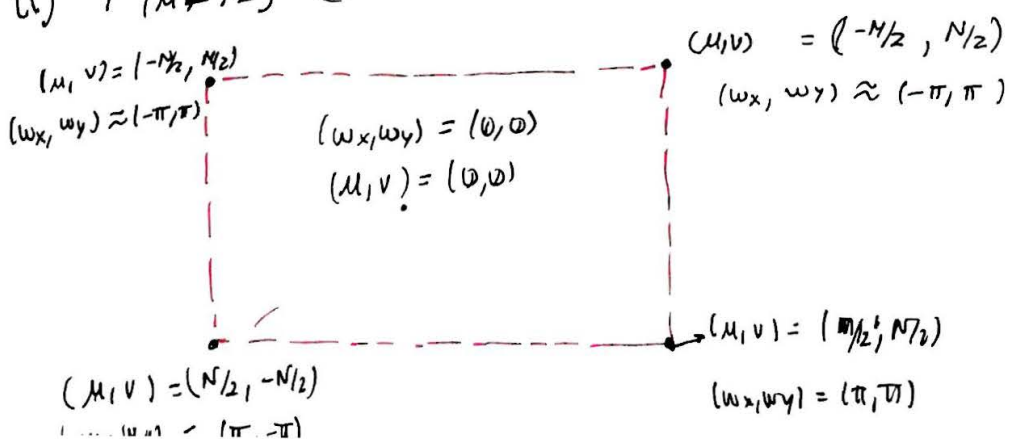
$$\frac{x}{M} \quad \frac{y}{N}$$

espectro con origen en el centro de la imagen

i) $F(u,v) \triangleq F(e^{j\omega x}; e^{j\omega y})$



ii) $F(u-M/2, v-N/2)$ (versión centrada)



(Wraparound error) Convolución en espacio y producto en frecuencia.

Ej:

$$f(x,y) = \begin{pmatrix} 1 & 1 \\ 1 & 1 \end{pmatrix} \quad \text{Imagen} \quad ; \quad w(x,y) = \begin{pmatrix} 1 & 0 \\ 0 & -1 \end{pmatrix} \quad \text{refleja la imagen} \quad w(-x, -y) = \begin{pmatrix} -1 & 0 \\ 0 & 1 \end{pmatrix}$$

A) Convolución en espacio de muestras

$$g_1(x,y) = f(x,y) * w(x,y) = \begin{pmatrix} 1 & 1 & 0 \\ 1 & 0 & -1 \\ 0 & -1 & -1 \end{pmatrix}_{3 \times 3}$$

* Dimensiones

$$(3+3-1) \times (3+3-1)$$

$$(2+2-1) \times (2+2-1)$$

$$P+V-1$$

Imagen
Impulso. KERNEL = respuesta al impulso

B) PRODUCTO EN FRECUENCIA:

$$* \text{ EJ: } M=3, N=3$$

* DESCOMPOSICIÓN EN IMPULSOS UNITARIOS

$$\text{señal} \Rightarrow f(x,y) = \delta(x,y) + \delta(x,y-1) + \delta(x-1,y) + \delta(x-1,y-1)$$

$$\text{señal} \Rightarrow w(x,y) = \delta(x,y) - \delta(x-1,y-1)$$

* APLICAR DFT 2D:

$$\text{Fourier} \Rightarrow F(u,v) = 1 + e^{-j\frac{2\pi v}{3}} + e^{-j\frac{2\pi u}{3}} + e^{-j2\pi(\frac{u}{3} + \frac{v}{3})}$$

$$\text{Fourier} \Rightarrow W(u,v) = 1 - e^{-j2\pi(\frac{u}{3} + \frac{v}{3})}$$

$$\circ \circ \quad g(u,v) = F(u,v) \cdot W(u,v)$$

$$= 1 + e^{-j\frac{2\pi v}{3}} + e^{-j\frac{2\pi u}{3}} + e^{-j2\pi(\frac{u}{3} + \frac{v}{3})}$$

$$* \rightarrow e^{-j2\pi(\frac{u+v}{3})} - e^{j2\pi(\frac{u+v}{3})}$$

$$- e^{-j2\pi(\frac{2u+v}{3})} - e^{j2\pi(\frac{2u}{3} + \frac{2v}{3})}$$

* Inversión por serie de potencias:

$$g(x,y) = \begin{pmatrix} 1 & 1 & 0 \\ 1 & 0 & -1 \\ 0 & -1 & -1 \end{pmatrix}$$

Zero-padding $\rightarrow \{1, 2, 3, 4\} \rightarrow \{1, 2, 3, 4, 0, 0, 0, 0\}$

Aumentar N $\rightarrow \text{DFT } \{1, 2, 3, 4\} \rightarrow \{1, 2, 3, 4, 0, 0, 0, 0\}$
N=8

1) Función de transferencia máscara gaussiana (3x3)

$$g(x,y) = \frac{1}{16} \begin{pmatrix} 1 & 2 & 1 \\ 2 & 4 & 2 \\ 1 & 2 & 1 \end{pmatrix}$$

$$= \frac{1}{16} \left\{ 4\delta(x,y) + 2\delta(x+1,y) + 2\delta(x-1,y) + 2\delta(x,y+1) + 2\delta(x,y-1) + \delta(x+1,y+1) + \delta(x+1,y-1) + \delta(x-1,y+1) + \delta(x-1,y-1) \right\}$$

$$\begin{aligned} \therefore g(u,v) &= \frac{1}{16} \left\{ 4 + 2e^{j\frac{2\pi u}{M}} + 2e^{-j\frac{2\pi u}{M}} + 2e^{j\frac{2\pi v}{N}} + 2e^{-j\frac{2\pi v}{N}} \right. \\ &\quad + 2e^{j2\pi\left(\frac{u}{M} + \frac{v}{N}\right)} + 2e^{-j2\pi\left(\frac{u}{M} + \frac{v}{N}\right)} \\ &\quad \left. + 2e^{-j2\pi\left(\frac{u}{M} - \frac{v}{N}\right)} + 2e^{j2\pi\left(\frac{u}{M} - \frac{v}{N}\right)} \right\} \\ &= \frac{1}{16} \left\{ 4 + 4\cos\left(\frac{2\pi u}{M}\right) + 4\cos\left(\frac{2\pi v}{N}\right) \right. \\ &\quad + 2\cos\left(2\pi\left(\frac{u}{M} + \frac{v}{N}\right)\right) + 2\cos\left(2\pi\left(\frac{u}{M} - \frac{v}{N}\right)\right) \left. \right\} \end{aligned}$$

2) Función de transferencia máscara Laplaciana

$$h(x,y) = \begin{pmatrix} 0 & 1 & 0 \\ 1 & -4 & 1 \\ 0 & 1 & 0 \end{pmatrix}$$

$$\begin{aligned} H(u,v) &= -4 + e^{j\frac{2\pi u}{M}} + e^{-j\frac{2\pi u}{M}} + e^{j\frac{2\pi v}{N}} + e^{-j\frac{2\pi v}{N}} \\ &= 4 + 2\cos\left(\frac{2\pi u}{M}\right) + 2\cos\left(\frac{2\pi v}{N}\right) \end{aligned}$$

II. - Analisis en frecuencia II

1) Función de transferencia máscara gaussiana (3x3)

$$g(x,y) = \frac{1}{16} \begin{pmatrix} 1 & 2 & 1 \\ 2 & 4 & 2 \\ 1 & 2 & 1 \end{pmatrix}$$

$$= \frac{1}{16} \left\{ 4\delta(x,y) + 2\delta(x+1,y) + 2\delta(x-1,y) + 2\delta(x,y+1) + 2\delta(x,y-1) + \delta(x+1,y+1) + \delta(x+1,y-1) + \delta(x-1,y+1) + \delta(x-1,y-1) \right\}$$

$$\begin{aligned} \therefore g(u,v) &= \frac{1}{16} \left\{ 4 + 2e^{j\frac{2\pi u}{M}} + 2e^{-j\frac{2\pi u}{M}} + 2e^{j\frac{2\pi v}{N}} + 2e^{-j\frac{2\pi v}{N}} \right. \\ &\quad + 2e^{j2\pi\left(\frac{u}{M} + \frac{v}{N}\right)} + 2e^{-j2\pi\left(\frac{u}{M} + \frac{v}{N}\right)} \\ &\quad \left. + 2e^{j2\pi\left(\frac{u}{M} - \frac{v}{N}\right)} + 2e^{-j2\pi\left(\frac{u}{M} - \frac{v}{N}\right)} \right\} \\ &= \frac{1}{16} \left\{ 4 + 4\cos\left(\frac{2\pi u}{M}\right) + 4\cos\left(\frac{2\pi v}{N}\right) \right. \\ &\quad \left. + 2\cos\left(2\pi\left(\frac{u}{M} + \frac{v}{N}\right)\right) + 2\cos\left(2\pi\left(\frac{u}{M} - \frac{v}{N}\right)\right) \right\} \end{aligned}$$

2) Función de transferencia máscara Laplaciana

$$h(x,y) = \begin{pmatrix} 0 & 1 & 0 \\ 1 & -4 & 1 \\ 0 & 1 & 0 \end{pmatrix}$$

$$\begin{aligned} H(u,v) &= -4 + e^{j\frac{2\pi u}{M}} + e^{-j\frac{2\pi u}{M}} + e^{j\frac{2\pi v}{N}} + e^{-j\frac{2\pi v}{N}} \\ &= -4 + 2\cos\left(\frac{2\pi u}{M}\right) + 2\cos\left(\frac{2\pi v}{N}\right) \end{aligned}$$

3) Expresión analítica de la función de transferencia del Laplaciano

* Concepto previo: $\frac{\partial f}{\partial t} \xrightarrow{F} j\Omega_t F(\Omega_t, \Omega_z)$

* Demostración:

$$f(t, z) = \left(\frac{1}{2\pi}\right)^2 \int_{-\infty}^{+\infty} \int_{-\infty}^{+\infty} F(\Omega_t, \Omega_z) \cdot e^{j(\Omega_t \cdot t + \Omega_z \cdot z)} d\Omega_t d\Omega_z$$

$$\frac{\partial f}{\partial t} = \left(\frac{1}{2\pi}\right)^2 \int_{-\infty}^{+\infty} \int_{-\infty}^{+\infty} \underbrace{j\Omega_t F(\Omega_t, \Omega_z)}_{\xrightarrow{\Delta} \hat{F}(\Omega_t, \Omega_z)} \cdot e^{j(\Omega_t \cdot t + \Omega_z \cdot z)} d\Omega_t d\Omega_z$$

$$\circ \circ \frac{\partial f}{\partial t} \xleftrightarrow{F} j\Omega_t \cdot F(\Omega_t, \Omega_z)$$

$g(x, y) = g_x(x) g_y(y)$
 ↑
 Distribución separable \rightarrow siempre separable.

$\frac{1}{4} \{1, 2, 1\}$



De la misma forma:

$$\frac{\partial f}{\partial z} \xleftrightarrow{F} j\Omega_z F(\Omega_t, \Omega_z)$$

Finalmente:

$$\nabla^2 f(t, z) = \frac{\partial^2 f}{\partial t^2} + \frac{\partial^2 f}{\partial z^2}$$

↑
F

$$[(j\Omega_t)^2 + (j\Omega_z)^2] F(\Omega_t, \Omega_z)$$

$$= - \underbrace{[\Omega_t^2 + \Omega_z^2]}_{H(\Omega_t, \Omega_z)} \cdot F(\Omega_t, \Omega_z)$$

$H(\Omega_t, \Omega_z)$

$$\therefore \nabla_{x,y}^2 \xleftrightarrow{F} -(\Omega_t^2 + \Omega_z^2)$$

* Notación de Gonzalez

$\Omega = 2\pi f$, es pectno centrado

$$-4\pi^2 \left[\left(f_1 - \frac{\rho_1}{2} \right)^2 + \left(f_2 - \frac{\rho_2}{2} \right)^2 \right] F\left(f_1 - \frac{\rho_1}{2}; f_2 - \frac{\rho_2}{2}\right)$$

$$-4\pi^2 \left[\left(\mu - \frac{\rho_1}{2} \right)^2 + \left(\nu - \frac{\rho_2}{2} \right)^2 \right] F\left(\mu - \frac{\rho_1}{2}; \nu - \frac{\rho_2}{2}\right)$$

4) HIGH BOOST. FILTERING EN FRECUENCIA

$$g(x,y) = f(x,y) + K \{ f(x,y) - h_{LP}(x,y) * f(x,y) \}$$

$$g(\mu,\nu) = F(\mu,\nu) + K \{ F(\mu,\nu) - H_{LP}(\mu,\nu) F(\mu,\nu) \}$$

$$= F(\mu,\nu) + K \{ F(\mu,\nu) \cdot \underbrace{(1 - H_{LP}(\mu,\nu))}_{H_{HP}(\mu,\nu)} \}$$

$$= F(\mu,\nu) \cdot \underbrace{\{1 + K H_{HP}(\mu,\nu)\}}_{H(\mu,\nu)}$$

Gaussian → ^{Banda ancha. (transición suave)} no genera oscilaciones
 ↳ efecto adverso nunca deseado

Butterworth → cercano al filtro ideal y cercano al gaussian.
 es el más flexible.
 permite mover y ver que fue suave.